

УДК 621.396.98

## МОДЕЛЬ ГРАВИИНЕРЦИАЛЬНОЙ СИСТЕМЫ НА ОСНОВЕ ИНТЕРПРЕТАЦИИ ПРИНЦИПА Д'АЛАМБЕРА<sup>1</sup>

© 2010 А.С. Девятисильный, К.А. Числов<sup>2</sup>

Дано теоретико-механическое обоснование двухкомпонентного метода инерциальной навигации и приведены результаты численного исследования построенной на его базе модели гравиинерциальной системы.

**Ключевые слова:** инерциальная навигация, гравиметрия, ньютонометр, гироскоп, обратная задача, вейвлет.

### Введение

В настоящей статье в рамках общности теоретико-механических представлений о задачах инерциальной навигации и гравиметрии [1] предложена модель гравиинерциальной системы (ГИС/GIS), реализуемая на основе двухкомпонентного (2D — по числу ньютонометров, или акселерометров [2]) метода инерциальной навигации. От обсуждаемой в [1] модели ГИС ее отличает отсутствие специального условия на движение объекта-носителя (по сфере), ограничивающего применение ГИС на широком классе объектов. Снять такое ограничение удастся, как показано ниже, благодаря доступности (от навигационной спутниковой системы типа ГЛОНАСС/GLONASS) информации о модуле радиус-вектора положения объекта в геоцентрической системе координат и обращению к принципу Д'Аламбера. Еще один аспект, который кратко затронут в статье и актуален для решения задачи гравиметрии на подвижном основании, это апостериорная обработка гравиметрической съемки. Ее эффективность иллюстрируется в работе примером применения вейвлет-технологий.

### 1. Основные модели

Как и в [1], исходное представление математической модели ГИС ограничивается постановкой обратной задачи в форме уравнений "состояние-измерение", где уравнения состояния — это уравнения пространственного движения объекта,

<sup>1</sup>Исследование поддержано грантами РФФИ-ДВО (№09-01-98503-р\_восток\_a) и ДВО РАН (№ 09-1-П29-02, № 09-III-A-03-066).

<sup>2</sup>Девятисильный Александр Сергеевич (devyatis@iacp.dvo.ru), Числов Кирилл Александрович (kirillche@rambler.ru), Институт автоматизации и процессов управления, 690041, Российская Федерация, г. Владивосток, ул. Радио, 5.

отождествляемого с материальной точкой, или динамическая группа уравнений трехкомпонентного метода инерциальной навигации [3], так что

$$\begin{aligned} \dot{q}_i &= -e_{ikj}\omega_k q_j + p_i, & q_i(0) &= q_{i,0}, \\ \dot{p}_i &= -e_{ikj}\omega_k p_j + G_i(\mathbf{q}) + F_i, & p_i(0) &= p_{i,0}, \quad i, j, k = \overline{1,3}, \\ J &= |r| + \epsilon, \end{aligned} \quad (1.1)$$

где  $J$  и  $\epsilon$  — соответственно измерение и его погрешность;  $e_{ikj}$  — псевдотензор Леви-Чивита,  $\mathbf{q} = (q_i)$ ,  $\mathbf{p} = (p_i)$ ,  $\boldsymbol{\omega} = (\omega_i)$ ,  $\mathbf{G} = (G_i)$ ,  $\mathbf{F} = (F_i)$  — соответственно векторы координат, удельных импульсов, абсолютной угловой скорости вращения горизонтируемой приборной платформы, напряженности гравитационного поля Земли (ГЕ-поля) и удельных сил негравитационной природы в проекциях на оси координатного ортогонального трехгранника (обозначим его через  $ou = ou_1 u_2 u_3$ ) с началом в центре Земли и осями, параллельными осям приборного трехгранника  $\tilde{ou} = \tilde{ou}_1 \tilde{ou}_2 \tilde{ou}_3$ , в идеальном случае ориентированного так, что ось  $\tilde{ou}_3$  направлена по радиус-вектору положения объекта, а оси  $\tilde{ou}_1$  и  $\tilde{ou}_2$  — соответственно на географические восток и север; заметим также, что в (1.1), как и всюду далее, действует правило суммирования по повторяющимся индексам.

Как следует из изложенного,  $|\mathbf{q}| = r = q_3$  и  $J = r + \epsilon$ .

Цель настоящей статьи — отличная от [1] прикладная интерпретация модели (1.1).

Напомним, что согласно концепции метода инерциальной навигации модель (1.1) должна быть дополнена моделями измерений величин  $F_i$  и  $\omega_i$ ,  $i = \overline{1,3}$ , реализуемых с помощью инерциальных измерителей — ньютонометров и гироскопов. Тогда, учитывая, что при измерении  $F_i$ ,  $\omega_i$  и  $q_3$  обычно реализуется процедура динамического сглаживания (режим отслеживания параметра), можно считать, что в конечном итоге доступными являются не только их сглаженные оценки ( $\tilde{F}_i$ ,  $\tilde{\omega}_i$  и  $\tilde{q}_3$ ), но и производные, в частности,  $\dot{\omega}_i$ ,  $\dot{q}_3$ ,  $\ddot{q}_3$ . Далее примем, что  $\tilde{q}_3 = J$ ,  $\tilde{\dot{q}}_3 = \dot{q}_3 + \epsilon_1$ ,  $\tilde{\ddot{q}}_3 = \ddot{q}_3 + \epsilon_1$ ,  $\tilde{F}_i = F_i + f_i$ ,  $\tilde{\omega}_i = \omega_i + \nu_i$ ,  $\tilde{\dot{\omega}}_i = \dot{\omega}_i + \Delta_i$ , где  $\epsilon_1$ ,  $\epsilon_2$ ,  $f_i$ ,  $\nu_i$ ,  $\Delta_i$  — инструментальные погрешности.

В отличие от случая 3D-ИНМ, когда для получения опорного решения ДГУ необходимо моделировать все шесть уравнений ( $i = \overline{1,3}$ ), здесь, благодаря тому, что  $q_3 = r$  измеряется, предполагается моделирование только первых четырех ( $i = \overline{1,2}$ ), т. е. речь идет, по сути, о 2D-схеме ИНМ, в которой, следует отметить, модельные значения переменных  $q_3$  и  $p_3$  ( $p_3 = \dot{q}_3 + \omega_2 q_3 - \omega_1 q_2$ ), а также напряженности ГЕ-поля формируются с учетом значений сглаженных оценок  $\tilde{q}_3$  и  $\tilde{\dot{q}}_3$ .

В силу того, что при таком моделировании не вычисляется опорное значение  $q_3$  (оно, как указано выше, измеряется), построить невязку измерения  $\delta J = \delta q_3 + \epsilon$  и поставить задачу коррекции как обратную задачу "в малом" в той форме, в которой это было сделано, например в [4], теперь уже нельзя.

Вместо этого выберем другой путь, а именно обратимся к принципу Д'Аламбера [2].

Используя этот принцип на оси  $ou_3$ , имеем условие

$$z = \dot{p}_3 - \omega_2 p_1 + \omega_1 p_2 - G_3 - F_3 = 0,$$

или

$$\begin{aligned} z &= \ddot{q}_3 - (\dot{\omega}_2 + \omega_3^2)q_1 - (\omega_2\omega_3 - \dot{\omega}_1)q_2 + (\omega_1^2 + \omega_2^2)q_3 - \\ &- 2\omega_2 p_1 + 2\omega_1 p_2 - G_3 - F_3 = 0. \end{aligned} \quad (1.2)$$

Подстановка в (1.2) значений переменных, доступных благодаря измерениям (заметим, что оценка  $\ddot{q}_3$  может быть определена в силу того, что измеряется  $q_3$ )

и моделированию динамической группы уравнений в режиме двухкомпонентного метода инерциальной навигации ( $i = \overline{1, 2}$ ), приводит к невязке  $\delta z \neq 0$ , которая содержит информацию о погрешностях моделирования, что позволяет поставить обратную задачу "в малом" для оценки значений этих погрешностей, модель которой принимает вид

$$\begin{aligned} \delta \dot{q}_i &= -e_{ikj}\omega_k \delta q_j + \delta p_i - e_{ikj}\nu_k q_j, & \delta q_i(0) &= \delta q_{i,0}, \\ \delta \dot{p}_i &= -e_{ikj}\omega_k \delta p_j - \delta G(r, \mathbf{q}) + f_i - e_{ikj}\nu_k p_j, & \delta p_i(0) &= \delta p_{i,0}, \\ \delta z &= \ddot{q}_3 - (\dot{\omega}_2 + \omega_3^2)\delta q_1 - (\omega_2\omega_3 - \dot{\omega}_1)\delta q_2 + 2\omega_2\delta p_1 + 2\omega_1\delta p_2 + \\ &+ \delta G(r, \mathbf{q}) - (\omega_1^2 + \omega_2^2)\epsilon + \epsilon_2 + f_3 = 0, \end{aligned} \quad (1.3)$$

где следует считать, что  $\delta G_i(r, \mathbf{q}) = g_i + \frac{\partial G_i(r, \mathbf{q})}{\partial r} \delta r + \frac{\partial G_i(r, \mathbf{q})}{\partial q_j} \delta q_j$ ,  $\mathbf{g} = (g_i)$ ,  $i = \overline{1, 3}$  — вектор аномалии ГЕ-поля в текущей точке траектории,  $q_1 = q_2 = 0$ ,  $q_3 = r$ ,  $\delta q_3 = \epsilon$ ,  $p_1 = \omega_2 q_3$ ,  $p_2 = -\omega_1 q_3$ ,  $p_3 = \dot{q}_3$ ,  $\delta q_3 = \delta r = \epsilon$ ,  $\delta p_3 = \epsilon_1 - \omega_2 \delta q_1 + \omega_1 \delta q_2$ .

Далее, полагая, что имеет место существенное преобладание значения вертикальной компоненты аномалии ( $g_3$ ) над горизонтальными ( $g_1$  и  $g_2$ ), полагаем  $g_1 = 0$ ,  $g_2 = 0$ ,  $g_3 = g$ . Тогда расширение вектора состояния системы (1.3) за счет включения в него  $g$  с одновременным пополнением системы (1.3) уравнением эволюции  $g$  (в частности,  $-\dot{g} = 0$ ) дает возможность найти оценку  $g$  и решить, таким образом, ту же, что и в [1], задачу уточнения модели ГЕ-поля на заданной траектории и оценки углов наклона приборной плоскости  $\delta y_1 y_2$ . При этом качество оценки  $g_3$  будет тем выше, чем менее изменчиво  $g_3$  на временном интервале наблюдения по сравнению с изменчивостью погрешностей  $\epsilon$ ,  $\epsilon_2$  и  $f_3$ . Относительно последней отметим следующее. Погрешность  $f_3$  может быть погрешностью вертикального ньютонометра (его роль может исполнять и высокоточный гравиметр) или погрешностью априорных представлений о силе  $F_3$ , формируемых при организации программных траекторий для объекта-носителя. В обоих случаях возможно еще одно дополнительное расширение вектора состояния задачи за счет включения в него, кроме  $g$ , еще и  $f_3$ . При этом очевидна желательность ситуации, когда характеры эволюции  $g$  и  $f_3$  отличны.

Из изложенного видим, что обсуждаемая ГИС даже в случае применения в ней вертикального ньютонометра (для формирования невязки  $\delta z$ ) существенно отличается от системы, описываемой в [4], тем, что реализуется на базе 2D-ИНМ.

При исследовании задачи (1.3) установлено выполнение алгебраического условия наблюдаемости [5] для случая движения объекта по географическим параллелям с постоянной (относительно Земли) линейной скоростью (при этом  $\omega = const$ ), что вместе с последующим экспериментальным подтверждением устойчивости ее решения в вычислительной среде является вполне достаточным свидетельством корректности математической постановки задачи.

Учитывая представление модели ГИС в виде уравнений "состояние-измерение" [5], в имитационных вычислительных экспериментах (имеющих определяющее значение для задач ИНМ как вычислительных, по сути, задач) для решения задачи (1.3) целесообразно использование метода динамического обращения [6] в форме алгоритма калмановской фильтрации.

## 2. Вычислительные эксперименты

На рис. 1, 2 представлены основные результаты одного из таких экспериментов, в котором на первом этапе решения реализуется калмановское оценивание (при этом имитируется многократный проход трассы, на которой выполняется

гравиметрическая съемка), а на втором — обработка результатов первого с использованием преобразования, конструируемого на основе пирамидального алгоритма Малло [7] и ортогональных вейвлетов Добеши [8]; роль целевой функции, обеспечивающей качество обработки данных, выполняет функция, впервые предложенная в [9] и интерпретирующая оператор преобразования как проектор. Предполагается, что объект движется в восточном направлении на широте  $\phi = 45^0$  со скоростью  $v = 50$  м/с<sup>2</sup>, причем в радиальном направлении ускорение его движения описывается как  $\ddot{r} = A \left(\frac{2\pi}{T}\right)^2 \sin \frac{2\pi}{T}t$ , где  $A = 10$  м,  $T = 20\pi$  с, и оценивается с погрешностью, имеющей нулевое среднее и значение среднеквадратического отклонения (СКО)  $\sigma_{\epsilon_2} = 5 \cdot 10^{-4}$  м/с<sup>2</sup> при исходном СКО измерения  $r(t)$ , равном 1 м, т. е.  $\sigma_{\epsilon} = 1$  м; инструментальные погрешности ньютометров и гироскопов представляются несмещенными относительно нуля нормальными белыми шумами со следующими СКО:  $\sigma_{v_i} = 10^{-3}$  град/ч  $\approx 10^{-9}$  с<sup>-1</sup>,  $\sigma_{f_1} = \sigma_{f_2} = 10^{-3}$  м/с<sup>2</sup>,  $\sigma_{f_3} = 10^{-6}$  м/с<sup>2</sup> (как видим, имеет место значительное преобладание  $\sigma_{\epsilon_2}$  над  $\sigma_{f_3}$ , т. е.  $\sigma_{\epsilon_2} \gg \sigma_{f_3}$ ).

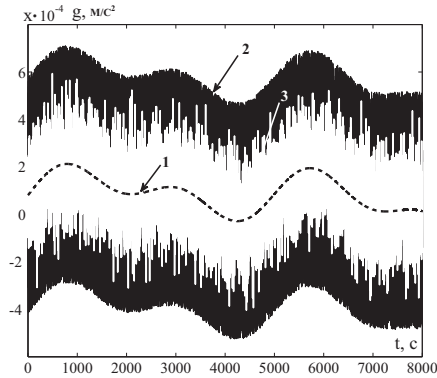


Рис. 1. Оценки первого этапа:

1 — оцениваемая функция  $g(t)$  (штриховая линия); 2 — калмановская оценка  $g(t)$  при одном проходе трассы; 3 — осредненная оценка  $g(t)$  при пяти проходах трассы (белое поле внутри графика 2)

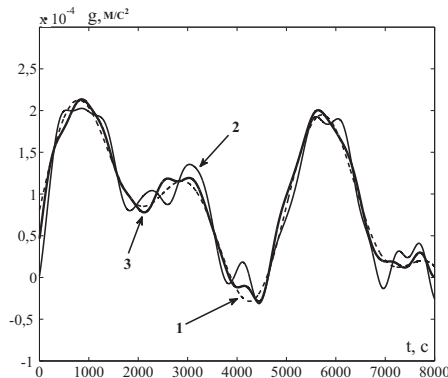


Рис. 2. Оценки второго этапа:

1 — оцениваемая функция  $g(t)$  (штриховая линия); 2 — вейвлет-оценка  $g(t)$  при одном проходе трассы; 3 — вейвлет-оценка  $g(t)$  при пяти проходах трассы

Сравнение графиков 2 и 3 на рис. 2 (как и вся совокупность выполненных вычислительных экспериментов) дает основание для вполне оптимистической оценки перспектив применения предложенной модели ГИС при условии повышения точности измерения вертикального ускорения ( $\ddot{r}$ ) и обращения к методам апостериорной обработки на заключительном этапе решения задачи подвижной гравиметрии.

## Заключение

Как видно из изложенного, интерпретация принципа Д'Аламбера дает теоретическое обоснование для модели ГИС на базе двухкомпонентного метода инерциальной навигации. Вместе с тем практическая реализация соответствующей схемы ГИС требует качественной (не хуже соответственно 0,1 м/с и  $10^{-3}$  м/с<sup>2</sup>) оценки первой и второй производных модуля радиус-вектора положения объекта.

## Литература

- [1] Девятисильный А.С., Числов К.А. Об инерциальных навигационных системах, корректируемых по радиальной информации // Вестник СамГУ. Естественнонаучная серия. 2008. № 6. С. 83–89.
- [2] Ишлинский А.Ю. Классическая механика и силы инерции. М.: Наука, 1987. 320 с.
- [3] Андреев В.Д. Теория инерциальной навигации. Корректируемые системы. М.: Наука, 1967. 648 с.
- [4] Девятисильный А.С., Числов К.А. Численное моделирование задачи коррекции трехкомпонентной инерциальной навигационной системы по высотной информации // Изв. РАН. Теория и системы управления. 2004. № 5. С. 101–105.
- [5] Калман Р., Фалб П., Арбиб М. Очерки по математической теории систем. М.: Мир, 1971. 400 с.
- [6] Осипов Ю.С., Кряжемский А.В. Задачи динамического обращения // Вестник РАН. 2006. Т. 76. С. 615–624.
- [7] Mallat S.G. A theory for multiresolution signal decomposition: the wavelet representation // IEEE Transaction on Pattern Analysis and Machine Intelligence. 1989. V. 11. № 7. P. 674–693.
- [8] Daubechies I. Ten lectures on wavelets // CBMS-NFS conference series in applied mathematics. — SIAMED, 1992. 388 p.
- [9] Девятисильный А.С., Прудкогляд Н.А. Моделирование астроинерциальной системы в условиях стохастической неопределенности // Авиакосмическое приборостроение. 2007. № 11. С. 39–44.

Поступила в редакцию 5/V/2010;  
в окончательном варианте — 5/V/2010.

## THE MODEL OF GRAVIINERTIAL SYSTEM BASED ON THE PRINCIPLE OF D'ALAMBER INTERPRETATION

© 2010 A.S. Devyatisilniy, K.A. Chislov<sup>3</sup>

The theoretical and mechanical substantiation of two-dimensional inertial navigation method is given. The results of numerical research of 2D graviinertial system are shown.

**Key words:** inertial navigation, gravimetry, Newton meter, gyroscope, inverse problem, wavelet.

Paper received 5/V/2010.

Paper accepted 5/V/2010.

---

<sup>3</sup>Devyatisilniy Alexandr Sergeevich ([devyatis@iacp.dvo.ru](mailto:devyatis@iacp.dvo.ru)), Chislov Kirill Alexandrovich ([kirillche@rambler.ru](mailto:kirillche@rambler.ru)), the Institute of Automation and Control Processes, Vladivostok, 690041, Russian Federation.